

§ 11. Теоретическое описание реакций с перераспределением нуклонов.

1. Реакция с перераспределением нуклонов схематически может быть изображена следующим образом:



В процессе взаимодействия налетающей частицы с ядром-мишенью **меняется нуклонный состав** и ядра-мишени, и налетающей частицы.

При использовании многоканального подхода для описания реакций с перераспределением нуклонов волновая функция всей системы может быть разложена по собственным состояниям ядра-мишени во входном канале или по собственным состояниям ядра-остатка в выходном канале;

$$\phi(A, a) = \sum_n f_n(a) \Phi_n(A) \quad (4.85)$$

$$\phi(B, b) = \sum_n f_n(b) \Phi_n(B) \quad (4.86)$$

Решая систему связанных уравнений, соответствующую разложению (4.85), получаем с соответствующей асимптотикой состояния $f_n^{(\pm)}(a)$, а решая систему, соответствующую разложению (4.86), находим $f_n^{(\pm)}(b)$. В Т-матрицу и сечения рассеяния входят одновременно состояния $f_n^{(-)}(b)$ и $f_n^{(+)}(a)$, которые не могут быть получены из решения той или другой системы уравнений. Таким образом, в стандартном многоканальном подходе возникают трудности с формулировкой граничных условий при описании процессов с перераспределением нуклонов. Обычно для описания этих процессов используется борновское приближение с искаженными волнами.

2. Частным случаем реакций с перераспределением нуклонов являются **зарядово-обменные** реакции. В этом случае количество нуклонов в ядре-мишени А и ядре-остатке В одно и то же, но происходит **передача (обмен) заряда**:

$$Z(a)-Z(b)=Z(B)-Z(A) \quad (4.87)$$

Это соотношение выражает закон сохранения заряда. К зарядово-обменным реакциям относятся реакции (p,n), (n,p), (^3He ,t) и т.п. Рассмотрим описание (p,n) реакции в модели Лейна.

Опико-модельный анализ упругого рассеяния на ядрах показал, что протонные и нейтронные потенциалы различаются, и это различие связано с избытком в ядрах числа нейтронов над числом протонов. Таким образом, протонные и нейтронные ОП могут быть записаны в виде:

$$V_{op}(\vec{r}) = V_o(\vec{r}) - \frac{1}{4}(N - Z) / A \cdot V_1(\vec{r}) \quad (4.88)$$

$$V_{on}(\vec{r}) = V_o(\vec{r}) + \frac{1}{4}(N - Z) / A \cdot V_1(\vec{r}) \quad (4.89)$$

Величина $\left[\pm \frac{1}{4}(N - Z) / A \cdot V_1(\vec{r}) \right]$ называется **изобарспиновым потенциалом**,

он имеет разный знак для протонов и нейтронов. Кроме того, величины $V_1(\vec{r})$ и $V_o(\vec{r})$ тоже разного знака. Это обстоятельство приводит к тому, что ядерная часть протонного ОП глубже, чем нейтронный ОП. Из данного анализа в рамках ОП следует, что $V_o \sim -50$ МэВ, в то время как $V_1 \sim 100$ МэВ. Однако, в следствие малости фактора $(N - Z) / 4A$ изобарспиновый потенциал дает небольшие поправки к ОП для легких и средних ядер, лишь для тяжелых ядер (

например, ^{208}Pb) эти поправки достигает 10%. Лейн обобщил выражение для изобарспинового потенциала и предложил для него следующую форму:

$$\pm \frac{1}{4} \frac{N-Z}{A} V_1(\vec{r}) \Rightarrow \frac{1}{A} (\vec{t} \vec{T}) V_1(\vec{r}) \quad (4.90)$$

Здесь \vec{t} - изотопический спин налетающего нуклона, \vec{T} - изотопический спин ядра-мишени. Правая часть выражения (4.90) получила название **потенциала Лейна**. Потенциал Лейна отличается от изобарспинового члена в (4.88)-(4.89) тем, что он удовлетворяет требованию изотопической инвариантности, а также, являясь оператором в изотопическом пространстве, переводит протонное состояние в нейтронное и, наоборот:

$$(\vec{t} \vec{T}) |p\rangle \Rightarrow |n\rangle \quad (4.91)$$

$$(\vec{t} \vec{T}) |n\rangle \Rightarrow |p\rangle \quad (4.92)$$

Последнее обстоятельство позволяет использовать потенциал Лейна для описания канала **квазиупругого рассеяния** в (p,n) реакции. В этом канале происходит возбуждение ИАС основного состояния ядра-мишени в ядре-остатке. Соответствующая схема изображена на рисунке 4.1. На эксперименте также наблюдается возбуждение в (p,n) реакции состояний в ядре-остатке с изотопическим спином (T-1), лежащих ниже ИАС. Однако, интенсивность возбуждения таких состояний значительно меньше, чем ИАС.

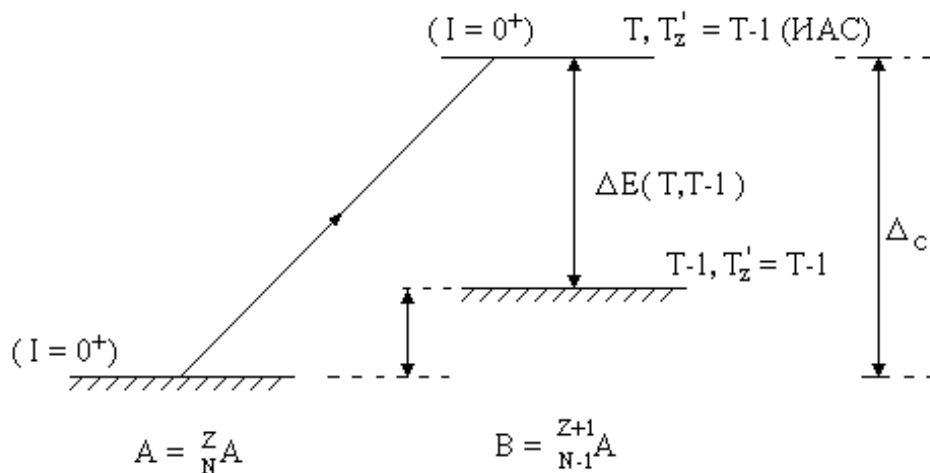


Рис.4.1.

Согласно модели Лейна волновая функция системы: налетающий протон + ядро-мишень удовлетворяет следующему уравнению Шредингера:

$$\left\{ T^{\square} + V_0^{\square} + \frac{1}{A} (\vec{t} \vec{T}) V_1^{\square} + \left(\frac{1}{2} - t_z \right) V_c^{\square} \right\} |\phi\rangle = \left\{ E - \left(\frac{1}{2} + t_z \right) \Delta_c \right\} |\phi\rangle \quad (4.93)$$

Здесь t_z - проекция изотопического спина нуклона, для протонов $t_z = -\frac{1}{2}$, а для нейтронов $t_z = +\frac{1}{2}$, V_c^{\square} - оператор кулоновского взаимодействия, Δ_c - так называемая **кулоновская энергия**. Она равна разности кулоновских энергий ядра-остатка и ядра-мишени:

$$\Delta_c = E_{\text{кул}}(B) - E_{\text{кул}}(A) \quad (4.94)$$

С другой стороны, Δ_c - может быть построено как сумма различия в энергии связи протона и нейтрона в ядре и энергетического расщепления по изотопическому спину:

$$\Delta_c = |E_n| - |E_p| + \Delta E(T, T-1) \quad (4.95)$$

Более удобной является формула (4.94), а соотношение (4.95) в таком случае может быть использовано для нахождения $\Delta E(T, T-1)$.

В изотопическом представлении функцию ϕ будем строить в следующем виде:

$$\begin{aligned} |\phi\rangle &= f_p \left| t - \frac{1}{2} TT_z = T \right\rangle + f_n \left| t \frac{1}{2} TT_z = T - 1 \right\rangle = \\ &= f_p \left| t - \frac{1}{2} TT \right\rangle + f_n \left| t \frac{1}{2} TT - 1 \right\rangle \end{aligned} \quad (4.96)$$

Здесь f_p и f_n - амплитуды, соответственно, протонного и нейтронного состояний. Базисные состояния в разложении (4.96) обладают свойством ортонормированности:

$$\langle tt_z TT_z | tt'_z TT'_z \rangle = \delta_{t_z t'_z} \delta_{T_z T'_z} \quad (4.97)$$

Подставим разложение (4.96) в уравнение (4.93) и домножим правую и левую части уравнения слева на вектор состояния $\left\langle t - \frac{1}{2} TT \right|$. В уравнении (4.93) все члены, кроме потенциала Лейна, диагональны в изоспиновом представлении. Рассмотрим матричный элемент:

$$\left\langle t - \frac{1}{2} TT \left| \frac{1}{A} (\bar{t} \bar{T}) \cdot f_p \left| t - \frac{1}{2} TT \right\rangle \right. \quad (4.98)$$

Представим скалярное произведение $\bar{t} \bar{T}$ в следующем виде:

$$\bar{t} \bar{T} = -(t_{\pm} T_{\pm} + t_{\mp} T_{\mp}) + t_{\pm} T_{\mp} \quad (4.99),$$

$$\text{где} \quad j_{\pm} = \mp \frac{1}{\sqrt{2}} (j_x \pm i j_y) \quad j_{\mp} = \{t_{\mp}, T_{\mp}\} \quad (4.100)$$

Из теории углового момента известно, как операторы j_{\pm} действуют на вектор состояния $|jk\rangle$:

$$j_{\pm} |jk\rangle = \mp \sqrt{\frac{(j \mp k)(j \pm k + 1)}{2}} |jk \pm 1\rangle \quad (4.101)$$

Здесь k - проекция углового момента j . Таким образом, операторы j_{\pm} увеличивают (уменьшают) значение проекции углового момента на 1. Аналогично операторы t_{\pm} увеличивают (уменьшают) значение проекции изоспина нуклона на 1, т.е. превращают протонное состояние в нейтронное и, наоборот. Соответственно, операторы T_{\pm} увеличивают (уменьшают) значение проекции изоспина ядра на 1, т.е. превращают в ядре-мишени протонное состояние в нейтронное и, наоборот.

Используя (4.99) и (4.101), получаем:

$$\bar{t} \bar{T} \left| t - \frac{1}{2} TT \right\rangle = \frac{1}{2} \sqrt{2T} \left| t \frac{1}{2} TT - 1 \right\rangle - \frac{1}{2} T \left| t - \frac{1}{2} TT \right\rangle \quad (4.102)$$

$$\bar{t} \bar{T} \left| t \frac{1}{2} TT - 1 \right\rangle = \frac{1}{2} \sqrt{2T} \left| t - \frac{1}{2} TT \right\rangle + \frac{1}{2} (T-1) \left| t \frac{1}{2} TT - 1 \right\rangle \quad (4.103)$$

Подставляя (4.102) в (4.98), будем иметь:

$$\left\langle t - \frac{1}{2}TT \left| \frac{1}{A} (\vec{T}\vec{T}) f_p \right| t - \frac{1}{2}TT \right\rangle = -\frac{f_p}{2A} T \quad (4.104)$$

Аналогично с применением (4.103) вычисляется другой матричный элемент:

$$\left\langle t - \frac{1}{2}TT \left| \frac{1}{A} (\vec{T}\vec{T}) f_n \right| t \frac{1}{2}TT - 1 \right\rangle = \frac{f_n}{2A} \sqrt{2T} \quad (4.105)$$

При получении формул (4.104)- (4.105) было использовано соотношение (4.97). После домножения правой и левой частей уравнения (4.93) слева на вектор состояния $\left\langle t - \frac{1}{2}TT \right|$ получаем следующее уравнение:

$$\left[T^{\square} + V_o^{\square} - E + V_c^{\square} - \frac{1}{2A} TV_1^{\square} \right] f_p + \frac{1}{2A} \sqrt{2TV_1^{\square}} f_n = 0 \quad (4.106)$$

Домножая обе части уравнения (4.93)) слева на вектор состояния $\left\langle t \frac{1}{2}TT - 1 \right|$ и проделывая аналогичные преобразования, будем иметь:

$$\left[T^{\square} + V_o^{\square} - E + \Delta_c + \frac{1}{2A} (T-1)V_1^{\square} \right] f_n + \frac{1}{2A} \sqrt{2TV_1^{\square}} f_p = 0 \quad (4.107)$$

Объединим уравнения (4.106) и (4.107), несколько изменив форму их записи:

$$\left. \begin{aligned} \left[T^{\square} + V_o^{\square} - E + V_c^{\square} - \frac{1}{2A} TV_1^{\square} \right] f_p &= -\frac{1}{2A} \sqrt{2TV_1^{\square}} f_n \\ \left[T^{\square} + V_o^{\square} - E + \Delta_c + \frac{1}{2A} (T-1)V_1^{\square} \right] f_n &= -\frac{1}{2A} \sqrt{2TV_1^{\square}} f_p \end{aligned} \right\} (4.108)$$

Это есть система зацепляющихся уравнений для амплитуд протонного и нейтронного состояний. Связь протонного и нейтронного канала осуществляется взаимодействием:

$$\Delta V_{pn}(\vec{r}) = \frac{\sqrt{N-Z}}{2A} V_1(\vec{r}) \quad (4.109)$$

Система уравнений Лейна позволяет описать **на единой основе** упругое рассеяние нейтронов и протонов на ядрах, а также реакцию квазиупругого рассеяния с возбуждением ИАС. Диагональная часть потенциала Лейна дает изобарспиновый потенциал, а недиагональная часть ответственна за квазиупругое

рассеяние. Из-за фактора $\frac{\sqrt{N-Z}}{2A}$ взаимодействие $\Delta V_{pn}(\vec{r})$

невелико и поэтому для описания (p,n) реакции можно использовать МИВ. Для дифференциального сечения будем иметь:

$$\frac{d\sigma}{d\Omega} = \frac{(2\pi)^4 \mu^2}{\hbar^4} \frac{k_n}{k_p} |T_{pn}|^2 \quad (4.110),$$

где

$$T_{pn} = \int \chi_n^{(-)*}(\vec{k}_n, \vec{r}) \Delta V_{pn}(\vec{r}) \chi_p^{(+)}(\vec{k}_p, \vec{r}) d\vec{r} \quad (4.111)$$

Здесь $\chi_n^{(-)}$ и $\chi_p^{(+)}$ - нейтронная и протонная искаженные волны, которые находятся из уравнений (4.108) без правых частей.

3. Модель Лейна может быть обобщена на случай ядер-мишеней со статической или динамической деформацией. Изовекторное взаимодействие $V_1(\vec{r})$ предполагается теперь зависящим от коллективных переменных ядра-мишени. Разлагая, как и ранее, в ряд Тейлора, получаем:

$$\frac{(\vec{t}, \vec{T})}{A} V_1(\vec{r}) = \frac{(\vec{t}, \vec{T})}{A} V_1(r) - R_0 \frac{\partial V_1(r)}{\partial r} \sum_{\lambda\mu} \alpha_{\lambda\mu}^{(1)} Y_{\lambda\mu}(\theta, \varphi) \frac{(\vec{t}, \vec{T})}{A} \quad (4.112)$$

Здесь индекс (1) указывает на связь $\alpha_{\lambda\mu}$ с изоспиновыми степенями свободы в отличие от рассматривавшихся ранее изоскалярных степеней свободы. Для ядер со статической деформацией будем иметь:

$$V_{pn,\lambda}(r) = -\frac{\sqrt{N-Z}}{2A} R_0 \frac{\partial V_1(r)}{\partial r} \beta_{\lambda}^{(1)} \sum_{\mu} D_{\mu 0}^{\lambda*}(\theta_1, \theta_2, \theta_3) Y_{\lambda\mu}(\omega) \quad (4.113),$$

где $V_{pn,\lambda}(r)$ - взаимодействие, ответственное за возбуждение ИАС возбужденного состояния ядра-мишени в зарядово-обменной (p,n) реакции с передачей ядру-остатку момента λ ; $\beta_{\lambda}^{(1)}$ - параметр изовекторной деформации. Процесс возбуждения ИАС может быть как одноступенчатым, так и многоступенчатым (см. рисунок 4.2).

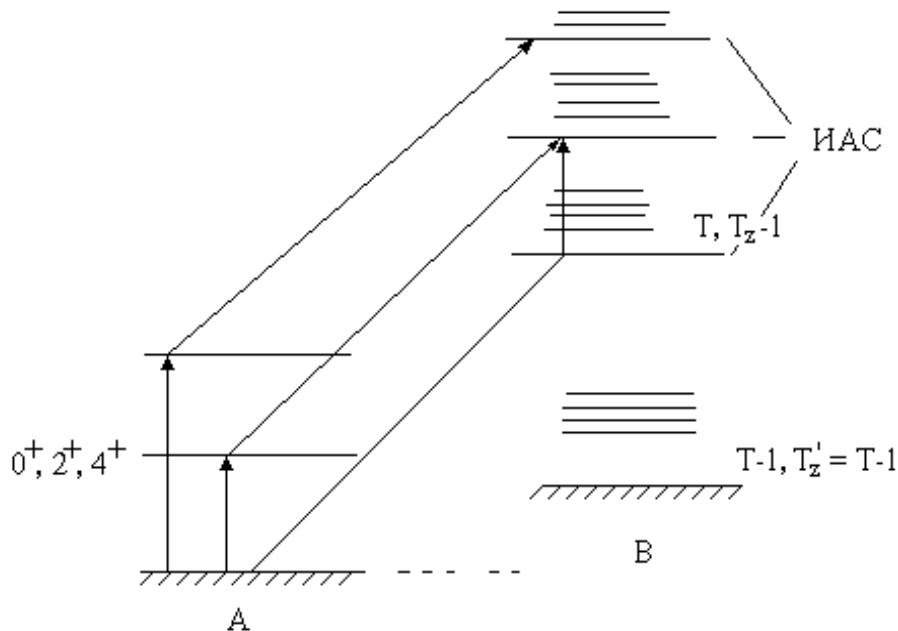


Рис.4.2.

Помимо реакции (p,n) эти состояния могут возбуждаться и в других зарядово-обменных реакциях, например, в реакции (${}^3\text{He}, t$). Эта реакция имеет определенное преимущество перед (p,n) реакцией. Во-первых, легче идентифицировать заряженные частицы t, чем нейтроны в (p,n) реакции. Во-вторых, меньше роль многоступенчатых процессов в реакции (${}^3\text{He}, t$), поэтому более достоверной является извлекаемая информация о свойствах изовекторного нуклон-ядерного взаимодействия.

4. Другим примером реакции с перераспределением нуклонов является реакция срыва (подхвата). Символически она может быть изображена следующим образом :



В процессе взаимодействия дейтона с ядром-мишенью происходит “срыв” нейтрона и захват его ядром-остатком. Как отмечалось во введении к параграфу, многоканальный подход к описанию реакций срыва не применим и используется борновское приближение с искаженными волнами. Для матрицы перехода имеем:

$$T_{fi} = \langle \phi_f | V_A^{\square} | \Phi_i^{(+)} \rangle + \langle \Phi_i^{(-)} | V_B^{\square} | \Phi_i^{(+)} \rangle \quad (4.115)$$

Здесь ϕ_f - волновая функция, содержащая плоскую волну для описания относительного движения дейтона и ядра-мишени, V_A^{\square} - взаимодействие, ответственное за упругое рассеяние дейтонов, а V_B^{\square} - взаимодействие, приводящее к срыву нейтрона, $\Phi_{i,f}$ - искаженные волновые функции.

Рассмотрим гамильтониан системы $(d + A)$ во входном канале:

$$H^{\square} = H_A^{\square} + H_d^{\square} + T_{dA}^{\square} + V_{pA}^{\square} + V_{nA}^{\square} \quad (4.116),$$

где H_d^{\square} , H_A^{\square} - гамильтонианы дейтона и ядра-мишени, соответственно; T_{dA}^{\square} - оператор кинетической энергии их относительного движения, $V_{pA}^{\square}, V_{nA}^{\square}$ - операторы взаимодействия, соответственно, протона и нейтрона с ядром-мишенью. Произведем некоторую перестройку в (4.116), добавив и вычтя в правой части \bar{V}_{dA}^{\square} - оптический дейтонный потенциал. В результате получаем:

$$H^{\square} = H_{oi}^{\square} + V_{1i}^{\square} + V_{2i}^{\square} \quad (4.117)$$

$$H_{oi}^{\square} = H_A^{\square} + H_d^{\square} + T_{dA}^{\square} \quad (4.118)$$

$$V_{1i}^{\square} = \bar{V}_{dA}^{\square} \quad (4.119)$$

$$V_{2i}^{\square} = V_{pA}^{\square} + V_{nA}^{\square} - \bar{V}_{dA}^{\square} \quad (4.120)$$

Примем $H_{oi}^{\square} + V_{1i}^{\square}$ за базисный гамильтониан во входном канале, а V_{2i}^{\square} будем рассматривать как возмущение. Для базисных состояний будем иметь:

$$(H_{oi}^{\square} + V_{1i}^{\square})\phi_i = E_i\phi_i \quad (4.121)$$

$$\phi_i(\vec{r}_n, \vec{r}_p, \vec{r}_1, \dots, \vec{r}_A) = \varphi_{E_d}(\vec{r}_n - \vec{r}_p) f_d(\varepsilon_d, \frac{\vec{r}_n + \vec{r}_p}{2}) \Phi_i(\vec{r}_1, \dots, \vec{r}_A) \quad (4.122)$$

Здесь φ_{E_d} - внутренняя волновая функция дейтона, f_d - волновая функция относительного движения дейтона, а Φ_i - волновая функция ядра-мишени. В (4.121) E_i - полная энергия системы во входном канале:

$$E_i = E_{Ai} + E_d + \varepsilon_d \quad (4.123)$$

Рассмотрим гамильтониан системы $(p + B)$ в выходном канале:

$$H^{\square} = H_B^{\square} + T_{Bp}^{\square} + V_{pB}^{\square} \quad (4.124),$$

где H_B^{\square} - гамильтониан ядра-остатка, T_{Bp}^{\square} - оператор кинетической энергии протона, V_{pB}^{\square} - оператор взаимодействия протона с ядром-остатком.

Для H_B^{\square} и V_{pB}^{\square} имеем:

$$H_B^{\square} = H_A^{\square} + H_n^{\square} = H_A^{\square} + T_{nA}^{\square} + V_{nA}^{\square} \quad (4.125)$$

$$V_{pB}^{\square} = V_{np}^{\square} + V_{pA}^{\square} \quad (4.126)$$

Добавляя и вычитая в правой части (4.124) \bar{V}_{pB}^{\square} и учитывая (4.125)- (4.126), получаем:

$$H^{\square} = H_{of}^{\square} + V_{1f}^{\square} + V_{2f}^{\square} \quad (4.127)$$

$$\hat{H}_{of}^{\square} = \hat{H}_A^{\square} + \hat{H}_n^{\square} + \hat{T}_{Bp}^{\square} \quad (4.128)$$

$$V_{1f}^{\square} = \bar{V}_{pB}^{\square} \quad (4.129)$$

$$V_{2f}^{\square} = V_{np}^{\square} + V_{pA}^{\square} - \bar{V}_{pB}^{\square} \quad (4.130)$$

Примем $H_{of}^{\square} + V_{1f}^{\square}$ за базисный гамильтониан в выходном канале, а V_{2f}^{\square} будем рассматривать как возмущение. Для базисных состояний имеем:

$$(H_{of}^{\square} + V_{1f}^{\square})\phi_f = E_f\phi_f \quad (4.131)$$

$$\phi_f(\vec{r}_n, \vec{r}_p, \vec{r}_1, \dots, \vec{r}_A) = \phi_n(\vec{r}_n)\phi_p(\vec{r}_p)\Phi_f(\vec{r}_1, \dots, \vec{r}_A) \quad (4.132)$$

$$E_f = E_{Af} + E_n + \varepsilon_p \quad (4.133)$$

Положим $V_{pA}^{\square} \approx \bar{V}_{pB}^{\square}$, т.е. взаимодействие протона с ядром-мишенью А приближенно равно оптическому потенциалу протона в поле ядра-ооатка В. Тогда, в соответствии с (4.130) $V_{2f}^{\square} = V_{np}^{\square}$.

Будем считать взаимодействие V_{np}^{\square} ответственным за реакцию срыва. Для матрицы переходов в борновском приближении с искаженными волнами получаем:

$$T_{fi} = \left\langle \Phi_f \phi_n \phi_p^{(-)} \left| V_{pn}^{\square} \right| \Phi_i f_d^{(+)} \phi_d \right\rangle \quad (4.134)$$

Учитывая, что $\langle \Phi_f | \Phi_i \rangle = 1$, окончательно будем иметь:

$$T_{fi} = \left\langle \phi_p^{(-)} \phi_n \left| V_{pn}^{\square} \right| \phi_d f_d^{(+)} \right\rangle \quad (4.135)$$

В координатном представлении получаем:

$$T_{fi} = \iint \phi_p^{(-)*}(\vec{r}_p) \phi_n^*(\vec{r}_n) U_{pn}(\vec{r}_p, \vec{r}_n) \phi_d(\vec{r}_n - \vec{r}_p) f_d^{(+)}\left(\frac{\vec{r}_n + \vec{r}_p}{2}\right) d\vec{r}_n d\vec{r}_p \quad (4.136)$$

Применим для $U_{pn}(\vec{r}_p, \vec{r}_n)$ приближение нулевого радиуса действия:

$$U_{pn}(\vec{r}_p, \vec{r}_n) = V_{pn} \delta(\vec{r}_p - \vec{r}_n) \quad (4.137)$$

Подставляя (4.137) в (4.136), будем иметь:

$$T_{fi}^o = V_{pn} \phi_d(0) \int \phi_p^{(-)*}(\vec{r}) \phi_n^*(\vec{r}) f_d^{(+)}(\vec{r}) d\vec{r} \quad (4.138)$$

Обозначая $V_{pn} \phi_d(0)$ постоянной С, получаем:

$$T_{fi}^o = C \int \phi_p^{(-)*}(\vec{r}) \phi_n^*(\vec{r}) f_d^{(+)}(\vec{r}) d\vec{r} \quad (4.139)$$

Используя для протонной и дейтонной волновых функций плоские волны, для T_{fi}^o будем иметь:

$$T_{fi}^o = C \int e^{-i\vec{k}_p \vec{r}} \phi_n^*(\vec{r}) e^{i\vec{k}_d \vec{r}} d\vec{r} \quad (4.140)$$

Этот результат был получен Батлером в 1950 году.

Выражение (4.139) отличается от формулы (4.140) тем, что в него входят не плоские волны, а волновые функции, соответственно, протона и дейтона, искаженные оптическим потенциалом. Таким образом, формула (4.140) дает

амплитуду срыва в плосковолновом борновском приближении, а (4.139) – амплитуду срыва в борновском приближении с искаженными волнами. Константа C нормируется сравнением теоретического сечения с экспериментальными, но она не влияет на форму угловых распределений.

Формула (4.139) передает основные черты реакции срыва, однако, она получена с использованием ряда предположений, которые ограничивают ее применимость. Перечислим эти предположения:

- 1). $V_{pA}^{\square} \approx V_{pB}^{\square}$, т.е. замена взаимодействия протона с ядром-мишенью оптическим протонным потенциалом для ядра-остатка.
- 2). Борновское приближение по взаимодействию V_{pn}^{\square} .
- 3). Неучет возбуждений остова А в ядре-остатке В.
- 4). Неучет трехчастичных взаимодействий.
- 5). Нулевой радиус действия для взаимодействия протона с нейтроном.
- 6). Неучет возможности срыва в резонансном состоянии.
- 7). Неучет смешивания одночастичных нейтронных конфигураций.

Последнее приближение может быть устранено введением спектроскопического фактора. Заменим $\phi_n \Phi_f$ в выражении (4.132) следующей суперпозицией:

$$\phi_n \Phi_f \Rightarrow \phi_{BJ_B M_B} = \sum_{j l M_A} \theta_{jl} \Phi_{J_A M_A} \phi_{j l m_j} C(j m_j J_A M_A | J_B M_B) \quad (4.141),$$

$$\text{где} \quad \phi_{j l m_j} = \sum_m C(l m s m_j - m | j m_j) R_{lj} i^l Y_{lm} \chi_{s m_j - m} \quad (4.142)$$

Подставляя (4.142) в элемент Т-матрицы и далее в сечение рассеяния, получаем:

$$\frac{d\sigma}{d\Omega} = |\theta_{jl}|^2 \left(\frac{d\sigma}{d\Omega} \right)_{одн} \quad (4.143)$$

$$S_{jl} = |\theta_{jl}|^2 \quad (4.144)$$

При получении (4.143) учтено свойство ортонормированности коэффициентов Клебша-Гордана. Величина S_{jl} называется спектроскопическим фактором.

Спектроскопический фактор извлекается из сравнения экспериментального сечения с $\left(\frac{d\sigma}{d\Omega} \right)_{одн}$. Его величина показывает вес одночастичного нейтронного состояния в суперпозиции (4.141).

К настоящему времени развиты расчетные схемы для описания реакций с перераспределением нуклонов, свободные от перечисленных выше приближений и позволяющие вычислять сечение n -нуклонных передач, где $n > 1$.